

ЧИСЛЕННОЕ РЕШЕНИЕ ЗАДАЧИ ДИРИХЛЕ
ДЛЯ НЕЗАМКНУТЫХ ПОВЕРХНОСТЕЙ ВРАЩЕНИЯ

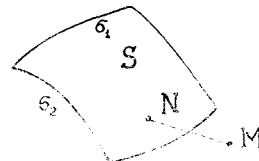
О.Ф. Антоненко

§ I. Постановка задачи

I. Если проводник в пустоте получает определенный заряд, то в состоянии равновесия этот заряд распределяется по поверхности проводника таким образом, что внутри проводника электрическое поле отсутствует. При этом во всех точках проводника электростатический потенциал принимает одно и то же значение.

Требуется найти распределение потенциала электростатического поля во внешности проводника, если значение потенциала на проводнике известно. Эту задачу будем называть задачей Д.

Рассмотрим незамкнутую проводящую поверхность S , толщина которой ничтожна по сравнению с другими ее размерами (рис. I). Обозначим через σ_1 и σ_2 плотности поверхностных



зарядов, расположенных на обеих сторонах поверхности. Потенциал $U(M)$ в любой точке M пространства складывается из потенциалов, происходящих от зарядов, расположенных на элементах ds проводящей поверхности, и дается интегралом:

$$U(M) = \iint_S \frac{\sigma_1 + \sigma_2}{r} ds, \quad r = |MN|, \quad N \in S. \quad (1)$$

При этом $\sigma = \sigma_1 + \sigma_2$ удовлетворяет интегральному уравнению:

$$Q = \iint_S \frac{\sigma}{r} ds, \quad (2)$$

где Q - заданное значение потенциала на поверхности S .

2. Будем рассматривать поле с осевой симметрией. Для его описания целесообразно ввести цилиндрические координаты ρ, φ, z , совместив ось z с осью симметрии поля. Пусть незамкнутые проводящие поверхности S_i , $i = 1, 2, \dots, m$, образованы вращением вокруг оси z незамкнутых кривых L_i , $i = 1, 2, \dots, m$. Потенциал на каждой поверхности S_i принимает свое постоянное значение Q_i :

$$U|_{S_i} = Q_i = \text{const}, \quad i = 1, 2, \dots, m.$$

Для нахождения плотностей $\sigma_i = \sigma_{1i} + \sigma_{2i}$ поверхностных слоев имеем интегральное уравнение:

$$\sum_{i=1}^m \iint_{S_i} \frac{\sigma_i(N)}{r} ds_i = Q_i(M), \quad \text{где } M \in S_k, N \in S = \bigcup_{i=1}^m S_i.$$

Или

$$\iint_S \frac{\sigma(N)}{r} ds = Q(M) \quad Q(M) = Q_k, \quad \text{когда } M \in S_k, \quad k = 1, \dots, m \quad (3)$$

$$\sigma(N) = \sigma_i \quad \text{когда } N \in S_i, \quad i = 1, \dots, m.$$

В случае осевой симметрии поля уравнение (3) после известных преобразований (см. [1]) приводится к виду:

$$\int_L \sigma(\rho', z') \frac{4\rho'}{\sqrt{(\rho+\rho')^2 + (z-z')^2}} K(\kappa) d\ell = Q, \quad (4)$$

где $(\rho', z') \in L = \bigcup_{i=1}^m L_i$, $(\rho, z) \in L$,

$d\ell$ - элемент длины контура L ,

$$\kappa^2 = \frac{4\rho\rho'}{(\rho+\rho')^2 + (z-z')^2}, \quad K(\kappa) = \int_0^{\frac{\pi}{2}} \frac{d\lambda}{\sqrt{1-\kappa^2 \sin^2 \lambda}}$$

- эллиптический интеграл I-го рода. Для него ниже используется аппроксимация [3]:

$$K(\kappa) \approx (a_0 + a_1 h + a_2 h^2 + a_3 h^3) + (b_0 + b_1 h + b_2 h^2 + b_3 h^3) \ln \frac{1}{h}, \quad (5)$$

$$\text{где } h = 1 - \kappa^2 = \frac{(\rho-\rho')^2 + (z-z')^2}{(\rho+\rho')^2 + (z-z')^2}, \quad 0 < h \leq 1,$$

$$\begin{aligned} a_0 &= 1,386294361, & b_0 &= 0,5, \\ a_1 &= 0,097932891, & b_1 &= 0,124750742, \\ a_2 &= 0,054544409, & b_2 &= 0,060118519, \\ a_3 &= 0,032024666, & b_3 &= 0,010944912. \end{aligned}$$

Максимальная погрешность этой аппроксимации

$$\varepsilon_{\max} = 6 \cdot 10^{-7}.$$

Для краткости, обозначим

$$K \approx A(h) + B(h) \ln \frac{1}{h},$$

где $A(h)$ и $B(h)$ - указанные в формуле (5) многочлены.

Таким образом, уравнение (4) приведено к приближенному одномерному интегральному уравнению:

$$\int_L \sigma(\rho', z') \frac{4\rho'}{\sqrt{(\rho+\rho')^2 + (z-z')^2}} (A + B \ln \frac{1}{h}) d\ell = Q. \quad (6)$$

Выделив сингулярный член, запишем уравнение (6) в виде:

$$\int_L \sigma \left[\varphi + \Psi \ln \frac{1}{\sqrt{(\rho+\rho')^2 + (z-z')^2}} \right] d\ell = Q, \quad (7)$$

где φ и Ψ - заданные непрерывные на L функции.

§ 2. Связь с плоской задачей электростатики

I. Пусть в плоскости (ρ, z) плоское электростатическое поле создается зарядами, распределенными на тонком незамкнутом проводнике L с линейными плотностями μ_1 и μ_2 на краях проводника. Потенциал проводника постоянный: $U|_L = Q = \text{const}$

Для линейной плотности $\mu = \mu_1 + \mu_2$ логарифмического потенциала простого слоя имеем уравнение:

$$\int_L \mu \ln \frac{1}{\sqrt{(\rho - \rho')^2 + (z - z')^2}} d\rho' = Q. \quad (8)$$

Интеграл в уравнении (8) с точностью до непрерывной функции Ψ совпадает с сингулярной частью интеграла в уравнении (7). Это сравнение позволяет для изучения некоторых особенностей в уравнении (7) привлечь результаты соответствующих задач плоской электростатики.

2. В плоском случае потенциальную функцию можно рассматривать как вещественную или мнимую часть комплексной аналитической функции $F(\omega)$, $\omega = z + i\rho$. При этом величина $\frac{1}{4\pi} \left| \frac{dF}{d\omega} \right|$ в точке на поверхности проводника равна плотности заряда в этой точке [14], т.е.

$$\mu(\omega) = \frac{1}{4\pi} \left| \frac{dF}{d\omega} \right|_L. \quad (9)$$

С помощью конформного преобразования $\xi = \xi(\omega)$ или $\omega = f(\xi)$ ($\xi = \zeta + i\eta$) можно перейти от данной задачи теории потенциала с граничными условиями Дирихле на заданном контуре к другой задаче с аналогичными условиями на контуре, отличающимся своим видом от первого. Тогда новый потенциал будет вещественной или мнимой частью аналитической функции $F(\omega(\xi))$, а плотность заряда μ^* на преобразованном проводнике L^* будет равна

$$\mu^*(\xi) = \frac{1}{4\pi} \left| \frac{dF}{d\omega} \right| \cdot \left| \frac{d\omega}{d\xi} \right|_{L^*}. \quad (9^*)$$

3. Конформное отображение, связанное с аналитической функцией $\xi = \omega^\alpha$, где α – вещественное число, удовлетворяющее неравенствам $0 < \alpha < 2$, преобразует угол $d\pi$ с вершиной в начале плоскости ω в подуплоскость $\Im \xi > 0$ (рис. 2).

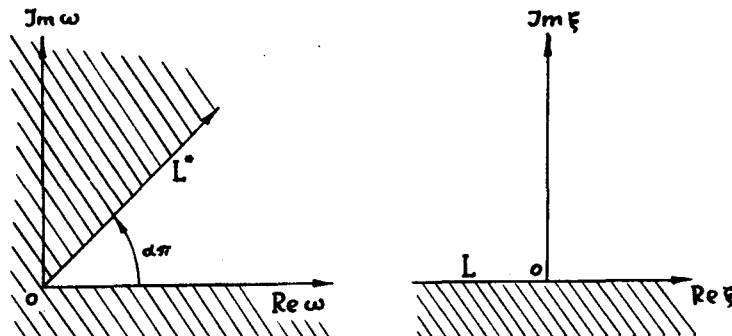


Рис. 2

Пусть комплексная функция $F(\xi)$ решает задачу Дирихле для полуплоскости $\Im \xi \geq 0$. Плотность μ в точках контура L даётся формулой:

$$\mu = \frac{1}{4\pi} \left| \frac{dF}{d\xi} \right|_{\Im \xi = 0}$$

Естественно предположить, что в точке $\xi = 0$ $\mu(\xi)$ не имеет особенности. Для плотности $\mu^*(\omega)$ на сторонах, образующих угол $d\pi$, получаем выражение:

$$\mu^* = \frac{1}{4\pi} \left| \frac{dF(\omega(\xi))}{d\omega} \right|_{L^*} = \frac{1}{4\pi\alpha} \left| \frac{dF}{d\xi} \right| \cdot \left| \omega^{\frac{1-\alpha}{\alpha}} \right|_{L^*}$$

Таким образом, в угловой точке $\omega = 0$ при $0 < \alpha < 1$ плотность μ^* равна нулю (экранирование), а при $1 < \alpha < 2$ плотность обращается в бесконечность порядка $\frac{\alpha-1}{\alpha}$ (действие острия).

Пусть проводник имеет вид, изображенный на рис. 3, причём $0 < \alpha \leq 1$. Тогда μ_1 в угловой точке особенности не име-

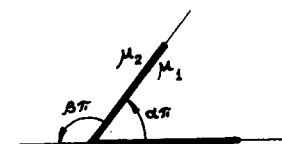


Рис. 3

ет и равна нулю, а μ_2 обращается в бесконечность порядка $\frac{\beta}{1+\beta}$, где $\beta = 1 - \alpha$. Такую же особенность имеет плотность $\mu = \mu_1 + \mu_2$.

Если тонкий проводник L занимает отрезок $[-\alpha, \alpha]$ оси z , то уравнение (8) принимает вид:

$$\int_{-\alpha}^{\alpha} \mu(t) \ln \frac{1}{|z-t|} dt = Q \quad -\alpha < z < \alpha.$$

Это уравнение подробно изучено в связи с контактными задачами теории упругости [15] и имеет единственное решение:

$$\mu(z) = \frac{Q}{\pi \ln \frac{2}{\alpha} \sqrt{\alpha^2 - z^2}}.$$

Таким образом, на концах незамкнутого проводника $\mu(z)$ обращается в бесконечность порядка $\frac{1}{2}$.

При решении уравнения (7) осесимметричной задачи мы будем предполагать, что σ на концах и в угловых точках L имеет особенности, аналогичные соответствующим особенностям плоской задачи.

§ 3. Расчет поля цилиндра конечной длины

I. Пусть требуется решить задачу I для случая полого цилиндра конечной длины 2α с радиусом основания R и с потенциалом на цилиндре, равным единице (рис. 4).

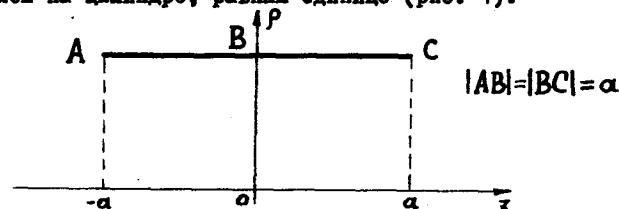


Рис. 4

Плотность σ потенциала простого слоя на цилиндре будем искать в виде

$$\sigma(z) = \frac{1}{\sqrt{\alpha^2 - z^2}} f(z), \quad (10)$$

где $f(z)$ — подлежащая определению непрерывная на отрезке $[-\alpha, \alpha]$ функция.

Для $f(z)$ имеем интегральное уравнение:

$$4R \int_{-\alpha}^{\alpha} \frac{f(z')}{\sqrt{4R^2 + (z-z')^2}} \cdot \frac{1}{\sqrt{\alpha^2 - z'^2}} (A + B \ln \frac{1}{\eta}) dz' = 1 \quad (II)$$

Заменим уравнение (II) конечной системой линейных алгебраических уравнений.*). Для этого разделим отрезок AC на $2N$ равных частей точками деления:

$$z_k = \frac{\alpha}{N} k - \alpha, \quad k = 0, 1, 2, \dots, 2N.$$

Представим $f(z')$ на каждом отрезке деления линейной функцией:

$$f(z') = f_n + (f_{n+1} - f_n)t; \quad 0 \leq t \leq 1,$$

$$z' = \frac{\alpha}{N} (n+t) - \alpha, \quad n = 0, 1, \dots, 2N-1, \quad (I2)$$

где $f_k = f(z_k)$ — значение функции f в точках деления.

С учетом (I2), левая часть уравнения (II) представится в виде суммы:

$$\frac{4Ra}{N} \sum_{n=0}^{2N-1} \int_0^1 [f_n + (f_{n+1} - f_n)t] \varphi_n(z, z') dt, \quad (I3)$$

где

$$\varphi_n(z, z') = \frac{A + B \ln \frac{1}{\eta}}{\sqrt{4R^2 + (z-z')^2} \cdot \sqrt{\alpha^2 - z'^2}}.$$

Вычисляя сумму (I3) последовательно в $2N+1$ точках деления и подставляя в уравнение (II), получим для f_0, f_1, \dots, f_{2N} линейную алгебраическую систему $2N+1$ уравнений.

Введя обозначения

$$\Psi_n^k = \varphi_n(z_k, z'), \quad \ell_n^k = \int_0^1 \Psi_n^k dt, \quad \bar{\ell}_n^k = \int_0^1 \Psi_n^k t dt, \quad (I4)$$

запишем систему в виде:

$$1 = \frac{4aR}{N} \sum_{n=0}^{2N} A_n^k f_n \quad (k = 0, 1, \dots, 2N), \quad (I5)$$

*.) Интегральное уравнение, соответствующее приближенному уравнению (II), рассматривалось в работе [16]. Путем представления потенциала на поверхности цилиндра и плотности заряда в виде соответствующих рядов задача сводится к регулярной бесконечной системе линейных уравнений. Систему рекомендуется решать методом итераций. Численные результаты по этому методу, насколько нам известно, пока не опубликованы.

где A_n^k вычисляются по формулам:

$$A_0^k = \ell_0^k - \bar{\ell}_0^k,$$

$$A_i^k = \ell_i^k - \bar{\ell}_i^k + \bar{\ell}_{i-1}^k, \quad i = 1, 2, \dots, 2N-1;$$

$$A_{2N}^k = \bar{\ell}_{2N-1}^k.$$

Ввиду симметрии, δ — функция, чётная относительно z , а тогда чётна и $f(z)$, что следует из (10), т.е. имеем

$$f_n = f_{2N-n}, \quad n = 1, 2, \dots, N.$$

В таком случае достаточно взять лишь точки на отрезке AB и решить систему $N+1$ уравнений. Она имеет вид:

$$1 = \frac{4\alpha R}{N} \sum_{n=0}^N B_n^k f_n, \quad \text{где } B_n^k = A_n^k + A_{2N-n}^k, \quad n = 0, 1, \dots, N-1, \\ B_N^k = A_N^k. \quad (I6)$$

2. Вычисление интегралов ℓ_n^k и $\bar{\ell}_n^k$.

Напомним, что

$$z_k = \frac{\alpha}{N} \cdot k - \alpha, \quad k = 0, 1, \dots, N,$$

$$z' = \frac{\alpha}{N} (n+t) - \alpha; \quad n = 0, 1, \dots, 2N-1; \quad 0 \leq t \leq 1,$$

$$\beta = \frac{(z_k - z')^2}{4R^2 + (z_k - z')^2}.$$

а) Пусть $n = 1, 2, \dots, 2N-2$. При $k=n$ получаем $|z'-z_k| = \frac{\alpha}{N} t$ и при $t=0$ β обращается в нуль, а подынтегральные функции в интегралах ℓ_n^k и $\bar{\ell}_n^k$ обращаются в бесконечность. То же самое имеет место при $k=n+1$ и $t=1$.

Введем обозначение:

$$\frac{1}{\sqrt{4R^2 + (z_k - z')^2}} \sqrt{\alpha^2 - z'^2} = M(z_k, z').$$

Несобственные интегралы будем вычислять по формулам:

$$\ell_n^n = \int_0^1 \left[M \left[A + B \ln \left(\frac{4R^2 + (z_k - z')^2}{\alpha^2} N^2 \right) \right] - 2 \left[MB - (BM) \Big|_{t=0} \right] \ln t \right] dt + \quad (I7)$$

$$\text{где } 2(MB) \Big|_{t=0} = \frac{N}{2\alpha R \sqrt{n(2N-n)}} = \text{const}$$

$$\ell_n^{n+1} = \int_0^1 \left[M \left[A + B \ln \left(\frac{4R^2 + (z_k - z')^2}{\alpha^2} N^2 \right) \right] - 2 \left[MB - (MB) \Big|_{t=1} \right] \ln(1-t) \right] dt + 2(MB) \Big|_{t=1}, \quad (I8)$$

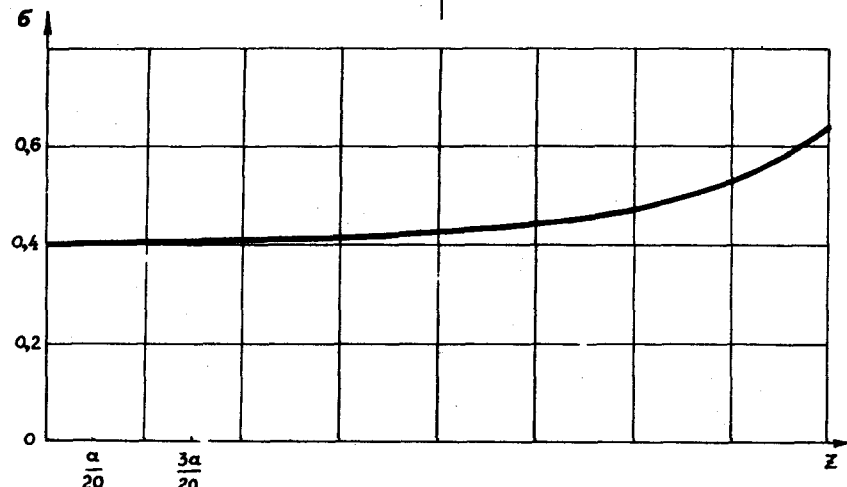
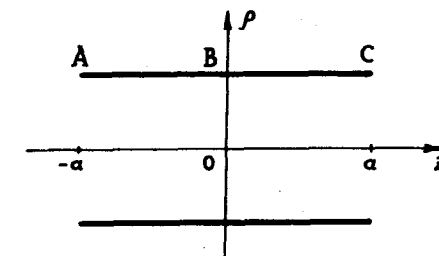


Рис. 5

Плотность δ потенциала простого слоя на поверхности цилиндра.

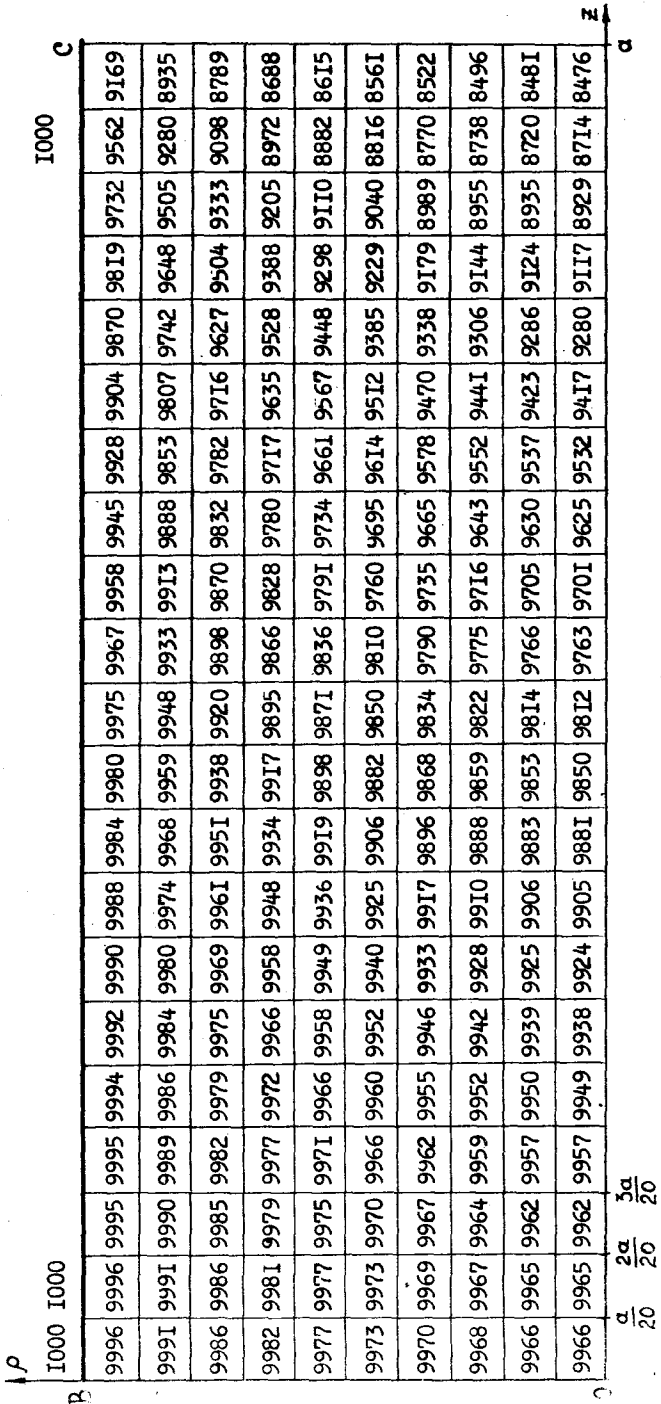


Рис. 6

Распределение потенциала в поле цилиндра.

$$\text{где } \left. 2(MB) \right|_{t=1} = \frac{N}{2\alpha R \sqrt{(n+1)(2N-(n+1))}} = \text{const} .$$

Для интегралов $\bar{\ell}_n^n$, $\bar{\ell}_n^{n+1}$ легко выписать формулы, аналогичные формулам (17) и (18).

в) При $n=0$ и $n=2N-1$ особенность при всех k даёт множитель $\frac{1}{\sqrt{\alpha^2 - z^2}}$. От этой особенности легко избавиться с помощью подстановок:

$$\text{при } n=0 \quad \tau = \sqrt{t},$$

$$\text{при } n=2N-1 \quad \tau = \sqrt{1-t}.$$

Получаем:

$$\ell_0^k = 2 \frac{N}{a} \int_0^1 \frac{1}{\sqrt{4R^2 + (z_k - z')^2}} \cdot \frac{1}{\sqrt{2N - \tau^2}} [A + B \ln \frac{1}{\eta}] d\tau, \quad (19)$$

$$\bar{\ell}_0^k = 2 \frac{N}{a} \int_0^1 \frac{\tau^2}{\sqrt{4R^2 + (z_k - z')^2}} \cdot \frac{1}{\sqrt{2N - \tau^2}} [A + B \ln \frac{1}{\eta}] d\tau, \quad (20)$$

$$\text{где } \eta = \eta(\tau), \quad \tau = \sqrt{t} \quad \text{или} \quad t = \tau^2.$$

При $k=0$ и $k=1$ особенности подынтегральных функций в (19) и (20) выделяются аналогично (17) и (18). Решая систему (15), получаем значения f_n ($n=0, 1, \dots, 2N$) функции f в точках деления. Из формулы (10) имеем значения плотности b_n .

Численные результаты по расчёту поля цилиндра иллюстрируются рисунками (5) и (6).

§ 4. Более общий случай

Поверхность $\Sigma = S_1 \cup S_2$ образована вращением вокруг оси z двух ломаных OAB и $CD\varepsilon$ (конфигурация и размеры указаны на рис. 7). На поверхности S_1 потенциал равен нулю, на поверхности S_2 — единице. Меняя параметры $a, b, c, d, \theta, R, \varphi_1, \varphi_2$, получаем решение для разных случаев: диск с цилиндром, диск с конусом, "стаканчики" [18] и т. д.

Решение $U(\rho, z)$ ищем в виде (1), причем для σ , как и прежде, имеем интегральное уравнение (6). Относительно плотности σ предполагаем, что она непрерывна всюду, кроме угловых точек A, D и концевых точек B, C, ε , где имеет особенности, рассмотренные в § 2.

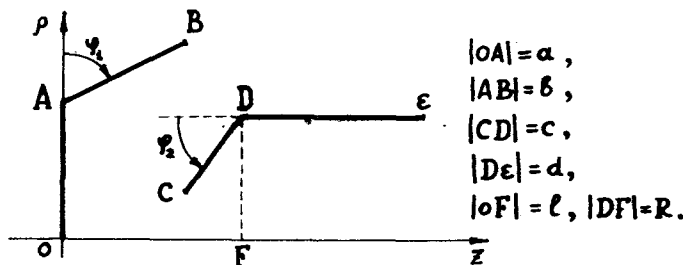


Рис. 7

Для численного решения уравнения (6) разделим отрезок OA на n_1 , AB на n_2 , CD на n_3 и DE на n_4 равных частей. Координаты точек деления обозначим через ρ_k, z_k , $k = 0, 1, 2, \dots, n_1 + n_2 + n_3 + n_4 + 1$. Они вычисляются по формулам:

$$\left. \begin{array}{l} \rho_k = \frac{\alpha}{n_1} k \\ z_k = 0 \end{array} \right\} k = 0, 1, \dots, n_1 - 1; \quad (21)$$

$$\left. \begin{array}{l} \rho_k = \alpha + \frac{\beta}{n_2} (k - n_1) \cos \varphi_1 \\ z_k = \frac{\beta}{n_2} (k - n_1) \sin \varphi_1 \end{array} \right\} k = n_1, n_1 + 1, \dots, n_1 + n_2;$$

$$\left. \begin{array}{l} \rho_k = R + \left\{ \frac{c}{n_3} [k - (n_1 + n_2 + i)] - c \right\} \sin \varphi_2 \\ z_k = l + \left\{ \frac{c}{n_3} [k - (n_1 + n_2 + i)] - c \right\} \cos \varphi_2 \end{array} \right\} k = n_1 + n_2 + 1, \dots, n_1 + n_2 + n_3;$$

$$\left. \begin{array}{l} \rho_k = R \\ z_k = l + \frac{d}{n_4} [k - (n_1 + n_2 + n_3 + i)] \end{array} \right\} k = n_1 + n_2 + n_3 + 1, \dots, n_1 + n_2 + n_3 + n_4 + 1.$$

Переменная точка интегрирования в зависимости от номера n ($n = 0, 1, \dots, n_1 + n_2 + n_3 + n_4 - 1$) отрезка деления кон-

тура L имеет координаты ρ' , z' , вычисляемые по формулам:

$$\left. \begin{array}{l} \rho' = \frac{\alpha}{n_1} (n + t) \\ z' = 0 \end{array} \right\} n = 0, 1, \dots, n_1 - 2, \quad 0 \leq t \leq 1,$$

$$\left. \begin{array}{l} \rho' = \frac{\alpha}{n_1} [n + (1-t)] \\ z' = 0 \end{array} \right\} n = n_1 - 1, \quad 0 \leq t \leq 1,$$

$$\left. \begin{array}{l} \rho' = \alpha + \frac{\beta}{n_2} (n - n_1 + t) \cos \varphi_1 \\ z' = \frac{\beta}{n_2} (n - n_1 + t) \sin \varphi_1 \end{array} \right\} n = n_1, n_1 + 1, \dots, n_1 + n_2 - 2, \quad 0 \leq t \leq 1,$$

$$\left. \begin{array}{l} \rho' = \alpha + \frac{\beta}{n_2} [n - n_1 + (1-t)] \cos \varphi_1 \\ z' = \frac{\beta}{n_2} [n - n_1 + (1-t)] \sin \varphi_1 \end{array} \right\} n = n_1 + n_2 - 1, \quad 0 \leq t \leq 1,$$

$$\left. \begin{array}{l} \rho' = R + \left\{ \frac{c}{n_3} [n - (n_1 + n_2) + t] - c \right\} \sin \varphi_2 \\ z' = l + \left\{ \frac{c}{n_3} [n - (n_1 + n_2) + t] - c \right\} \cos \varphi_2 \end{array} \right\} n = n_1 + n_2, \dots, n_1 + n_2 + n_3 - 2, \quad 0 \leq t \leq 1,$$

$$\left. \begin{array}{l} \rho' = R + \left\{ \frac{c}{n_3} [n - (n_1 + n_2) + (1-t)] - c \right\} \sin \varphi_2 \\ z' = l + \left\{ \frac{c}{n_3} [n - (n_1 + n_2) + (1-t)] - c \right\} \cos \varphi_2 \end{array} \right\} n = n_1 + n_2 + n_3 - 1, \quad 0 \leq t \leq 1,$$

$$\left. \begin{array}{l} \rho' = R \\ z' = l + \frac{d}{n_4} [n - (n_1 + n_2 + n_3) + t] \end{array} \right\} n = \sum_{i=1}^3 n_i, \dots, \sum_{i=1}^4 n_i - 2, \quad 0 \leq t \leq 1,$$

$$\left. \begin{array}{l} \rho' = R \\ z' = l + \frac{d}{n_4} [n - (n_1 + n_2 + n_3) + (1-t)] \end{array} \right\} n = \sum_{i=1}^4 n_i - 1, \quad 0 \leq t \leq 1.$$

Значение функции \bar{b} в K -й точке деления обозначим через \bar{b}_K , то есть $\bar{b}_K = \bar{b}(\rho_K, z_K)$. На всех отрезках деления, кроме тех, которые примыкают к угловым или концевым точкам, \bar{b} аппроксимируем линейной функцией:

$$\bar{b} = \bar{b}_n + (\bar{b}_{n+1} - \bar{b}_n)t, \quad 0 \leq t \leq 1.$$

На остальных отрезках представляем \bar{b} с учетом особенностей в угловых и концевых точках:

$$\left. \begin{aligned} \bar{b} &= \frac{t\bar{b}_{n_1-1} + \bar{b}_{n_1}(1-t)}{t^{\frac{1}{2}\alpha}}, \quad n = n_1-1; \\ \bar{b} &= \frac{\bar{b}_{n_1}(1-t) + \bar{b}_{n_1+1}t}{t^{\frac{1}{2}\alpha}}, \quad n = n_1 \end{aligned} \right\} \quad \text{Соответствующие отрезки примыкают к угловой точке } A. \\ d &= \frac{|\varphi_1|}{\pi}. \end{math>$$

$$\bar{b} = \frac{t\bar{b}_{n_1+n_2-1} + (1-t)\bar{b}_{n_1+n_2}}{t^{\frac{1}{2}}}, \quad n = n_1+n_2-1; \quad (23)$$

$$\bar{b} = \frac{\bar{b}_{n_1+n_2+1}(1-t) + \bar{b}_{n_1+n_2+2}t}{t^{\frac{1}{2}}}, \quad n = n_1+n_2;$$

$$\left. \begin{aligned} \bar{b} &= \frac{\bar{b}_{n_1+n_2+n_3}t + \bar{b}_{n_1+n_2+n_3+1}(1-t)}{t^{\frac{1}{2}\beta}}, \quad n = n_1+n_2+n_3-1 \\ \bar{b} &= \frac{\bar{b}_{n_1+n_2+n_3+1}(1-t) + \bar{b}_{n_1+n_2+n_3+2}t}{t^{\frac{1}{2}\beta}}, \quad n = n_1+n_2+n_3 \end{aligned} \right\} \quad \beta = \frac{|\varphi_2|}{\pi}$$

$$\bar{b} = \frac{\bar{b}_{n_1+n_2+n_3+n_4}t + \bar{b}_{n_1+n_2+n_3+n_4+1}(1-t)}{t^{\frac{1}{2}}}, \quad n = n_1+n_2+n_3+n_4-1.$$

В угловых и концевых точках плотность \bar{b} обращается в бесконечность. Смысл \bar{b}_K в этих точках виден из приведенных выражений (23). Если в угловых точках A и D особенность не учитывать, т.е. предположить, что плотность там непрерывна и конечна, то в вышеписанных формулах (23) нужно считать $\alpha = \beta = 0$. Тогда соответствующие аппроксимации превращаются в линейные, а \bar{b}_K при $K = n_1, n_1+n_2+n_3+1$ будут означать предполагаемые значения \bar{b} в угловых точках. Аналогичное замечание справедливо и для концевых точек.

С учетом указанной аппроксимации левая часть уравнения (6) представится в виде суммы интегралов по каждому участ-

ку деления контура L , что можно записать в виде:

$$\sum_{n=0}^{n_1-2} \left\{ \bar{b}_n l_n + (\bar{b}_{n+1} - \bar{b}_n) \bar{l}_n \right\} + \bar{b}_{n_1} l_{n_1-1} + (\bar{b}_{n_1-1} - \bar{b}_{n_1}) \bar{l}_{n_1-1} + \sum_{n=n_1}^{n_1+n_2-2} \left\{ \bar{b}_n l_n + (\bar{b}_{n+1} - \bar{b}_n) \bar{l}_n \right\} + \bar{b}_{n_1+n_2} l_{n_1+n_2-1} + (\bar{b}_{n_1+n_2-1} - \bar{b}_{n_1+n_2}) \bar{l}_{n_1+n_2-1} + \sum_{n=n_1+n_2+1}^{n_1+n_2+n_3-1} \left\{ \bar{b}_n l_{n-1} + (\bar{b}_{n+1} - \bar{b}_n) \bar{l}_{n-1} \right\} + \bar{b}_{n_1+n_2+n_3} l_{n_1+n_2+n_3-1} + (\bar{b}_{n_1+n_2+n_3-1} - \bar{b}_{n_1+n_2+n_3}) \bar{l}_{n_1+n_2+n_3-1} + \sum_{n=n_1+n_2+n_3+1}^{n_1+n_2+n_3+n_4-1} \left\{ \bar{b}_n l_{n-1} + (\bar{b}_{n+1} - \bar{b}_n) \bar{l}_{n-1} \right\} + \bar{b}_{n_1+n_2+n_3+n_4} l_{n_1+n_2+n_3+n_4-1} + (\bar{b}_{n_1+n_2+n_3+n_4-1} - \bar{b}_{n_1+n_2+n_3+n_4}) \bar{l}_{n_1+n_2+n_3+n_4-1}, \quad (24)$$

где l_n и \bar{l}_n – интегралы вида:

$$\int_0^1 \frac{4\rho'}{\sqrt{(\rho+\rho')^2 + (z-z')^2}} (A + B \ln \frac{1}{\eta}) t^{\alpha} dt. \quad (25)$$

Здесь ρ' принимает значения:

$$\rho' = \begin{cases} \frac{a}{n_1}, & \text{для } 0 \leq n \leq n_1-1, \\ \frac{b}{n_2}, & \text{для } n_1 \leq n \leq n_1+n_2-1, \\ \frac{c}{n_3}, & \text{для } n_1+n_2 \leq n \leq n_1+n_2+n_3-1, \\ \frac{d}{n_4}, & \text{для } n_1+n_2+n_3 \leq n \leq n_1+n_2+n_3+n_4-1; \end{cases}$$

показатель α в интегралах l_n равен:

$$\alpha = \begin{cases} -\frac{d}{1+d}, & \text{для } n = n_1-1, n = n_1, \\ -\frac{b}{1+b}, & \text{для } n = n_1+n_2+n_3-1, n = n_1+n_2+n_3, \\ -\frac{1}{2}, & \text{для } n = n_1+n_2-1, n = n_1+n_2, n = n_1+n_2+n_3+n_4-1, \\ 0, & \text{для остальных } n. \end{cases} \quad (26)$$

В интегралах \bar{l}_n показатель ω на единицу больше, чем в формулах (26).

Вычисляя сумму (24) во всех точках деления последовательно и подставляя в уравнение (6), получаем для b_k ,
 $K=0,1,2,\dots, n_1+n_2+n_3+n_4+1$ линейную алгебраическую систему
 $n_1+n_2+n_3+n_4+2$ уравнений. Коэффициенты этой системы легко выписать, пользуясь выражением (24). Особенности в интегралах \bar{l}_n , $\bar{\ell}_n$ выделяются так же, как в § 3. Численные результаты иллюстрируются на рис. 8-12.

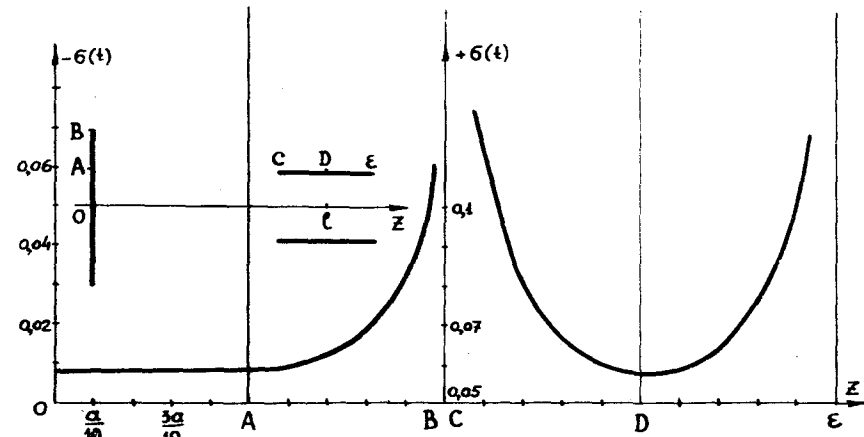


Рис. 8

Диск с цилиндром. Распределение плотности b .
 $R=1$, $a=b=c=d=1$, $\ell=8$, $\varphi_1=\varphi_2=0$, $\alpha=\beta=0$.

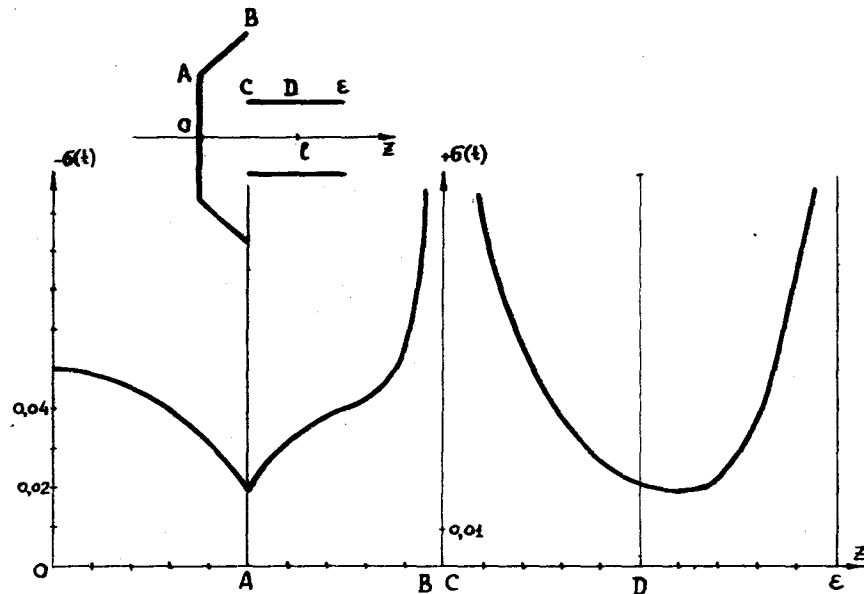


Рис. 9

Конус с цилиндром. Распределение плотности b .
 $a=b=c=d=1$, $\ell=2$, $R=\frac{1}{2}$, $\varphi_1=\frac{\pi}{4}$, $\varphi_2=0$, $\alpha=\beta=0$.

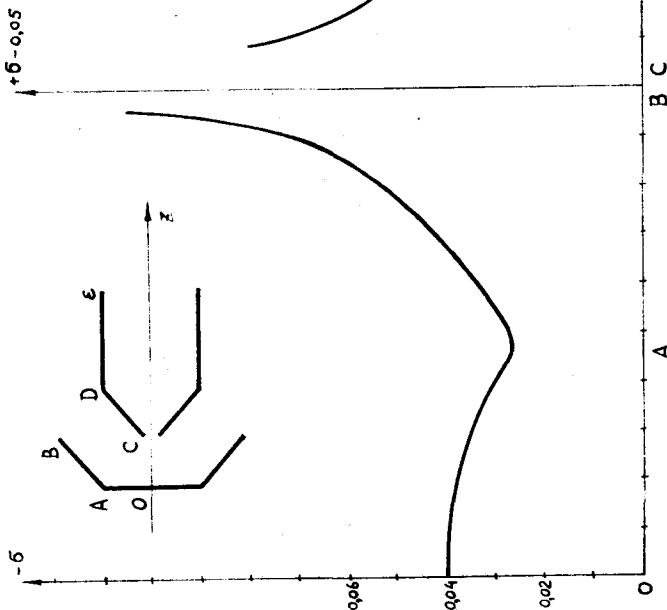
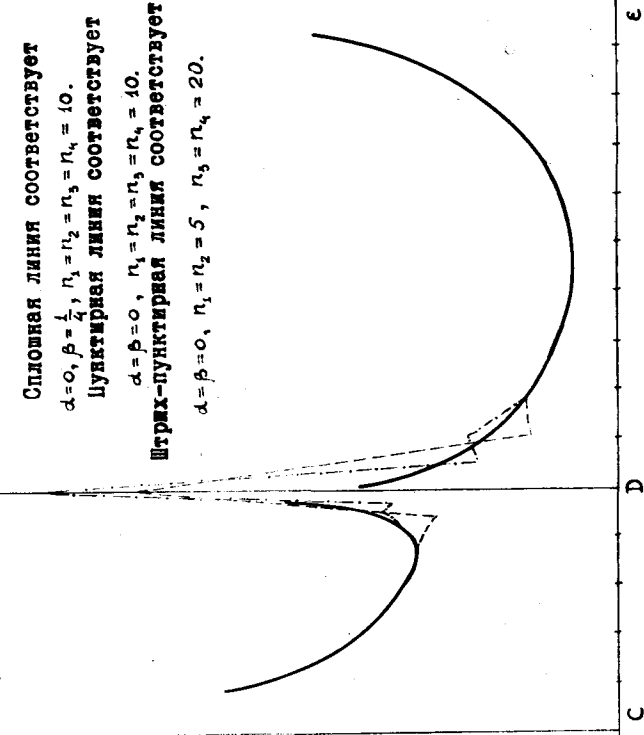


Рис. 10
Два конуса. Распределение плотности ρ .
 $R = 1, \alpha = \delta = c = 1, d = 2, \ell = 2, \varphi_1 = \varphi_2 = \frac{\pi}{4}$



Сплошная линия соответствует
 $d = 0, \beta = \frac{1}{4}, n_1 = n_2 = n_3 = n_4 = 10$.
Штриховая линия соответствует
 $d = \beta = 0, n_1 = n_2 = n_3 = n_4 = 10$.
Штрих-пунктирная линия соответствует
 $d = \beta = 0, n_1 = n_2 = 5, n_3 = n_4 = 20$.

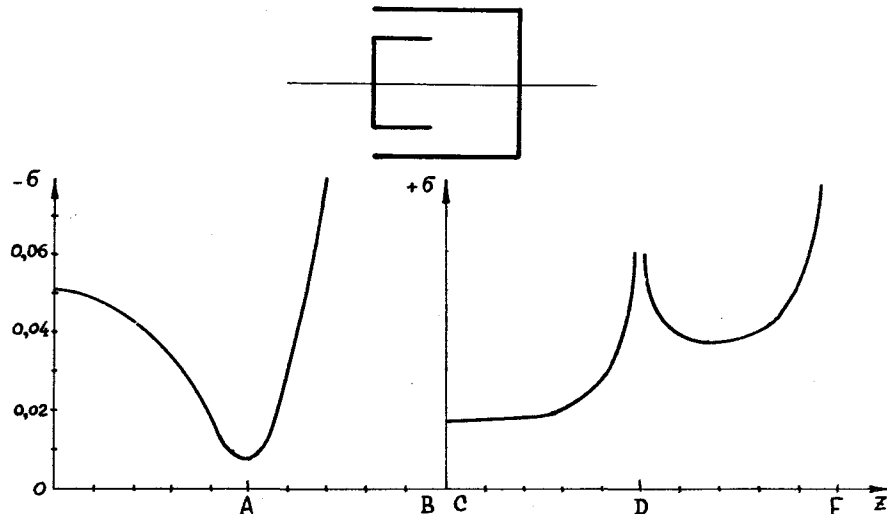


рис. II
Плотность ρ на поверхности "стаканчиков".

A	B	2720	2680	2679	2628	2448	2073	I556	I088	722	466	278	I29
D	C	5366	5824	5916	5858	5584	4717	3316	2214	I465	946	565	265
C	B	I000	9905	9768	9519	8972	7619	5539	3843	2624	I732	I050	496
B	A	I000	9816	9561	9138	8393	7182	5640	4158	2936	I973	I209	573
A	D	I000	9788	9428	8919	8124	6998	5647	4293	3099	2110	I323	620
D	C	I000	9734	9382	8849	8045	6944	5648	4330	3149	2159	I334	634

рис. I2
Распределение потенциала в поле "стаканчиков".
 $a = 7, b = 12, c = 4, d = 5, \ell = -12, R = 4, \varphi_1 = -\frac{\pi}{2}, \varphi_2 = \frac{\pi}{2}, d = 0, \beta = \frac{1}{4}$.